

# Lindbladian PT 相転移: 臨界例外点と散逸時間結晶の出現

東京大学大学院理学系研究科附属知の物理学研究センター

中西優馬

### 共同研究者



花井 亮 (東京科学大学)

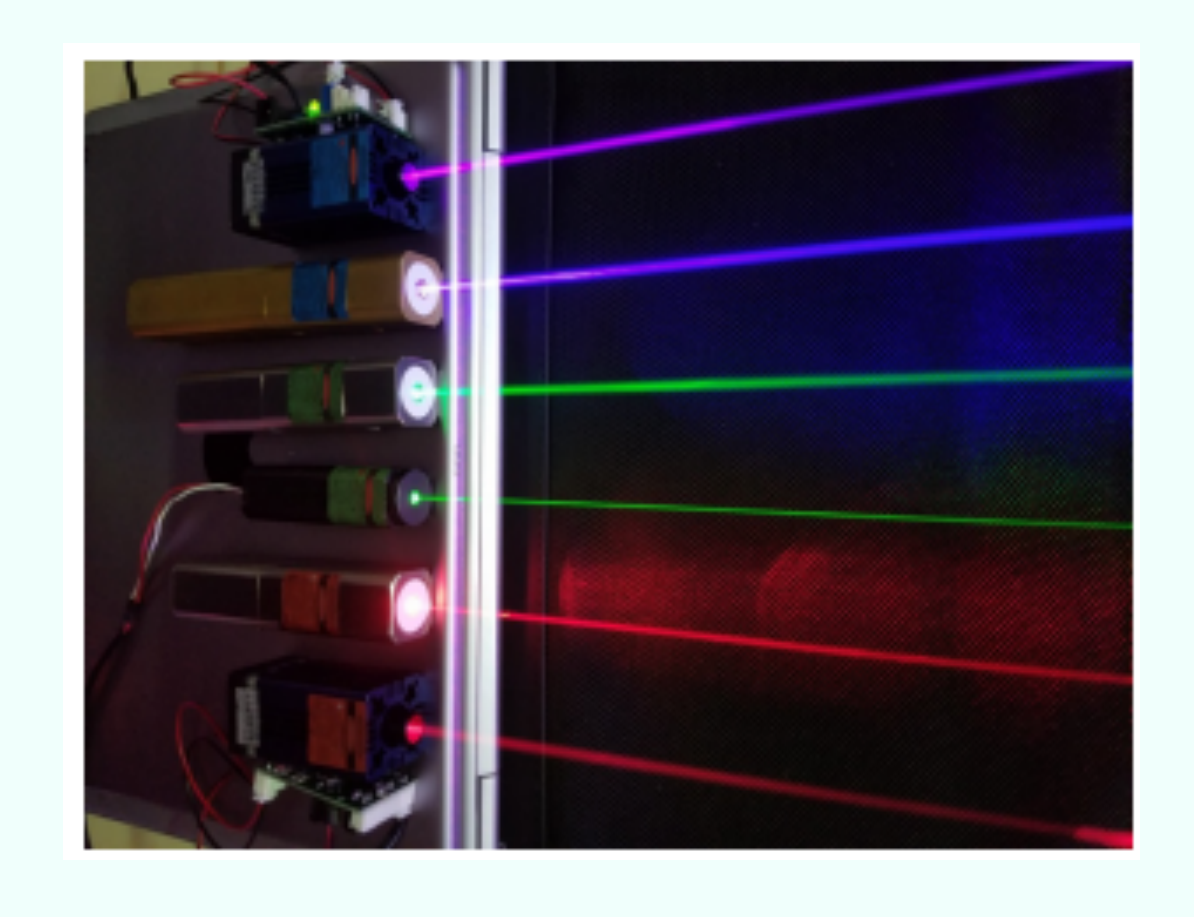


**笹本 智弘** (東京科学大学)

### 開放量子系では、熱平衡系では現れない非平衡現象が生じる

### レーザー

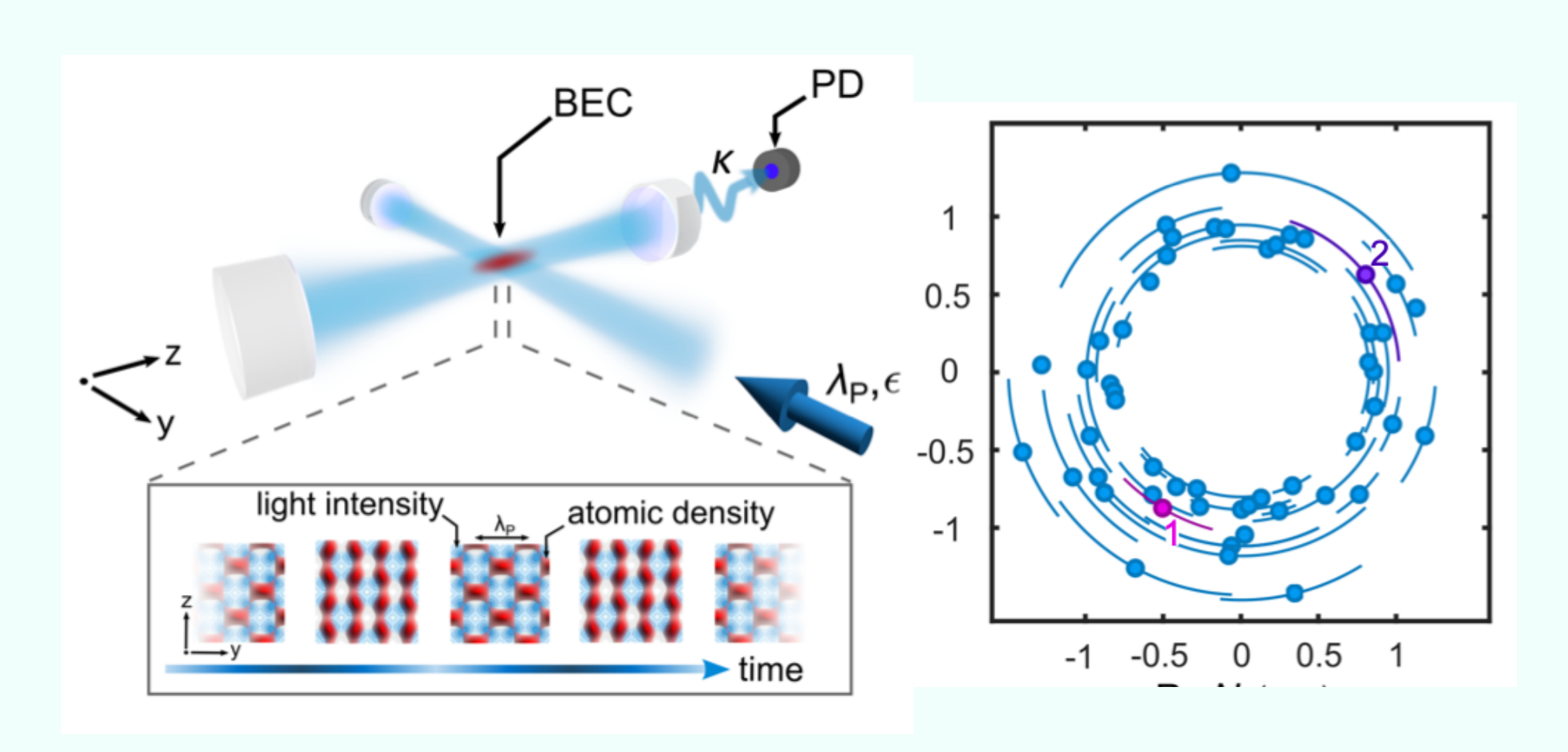
image from Wikipedia



U(1)対称性の破れ

### 散逸時間結晶

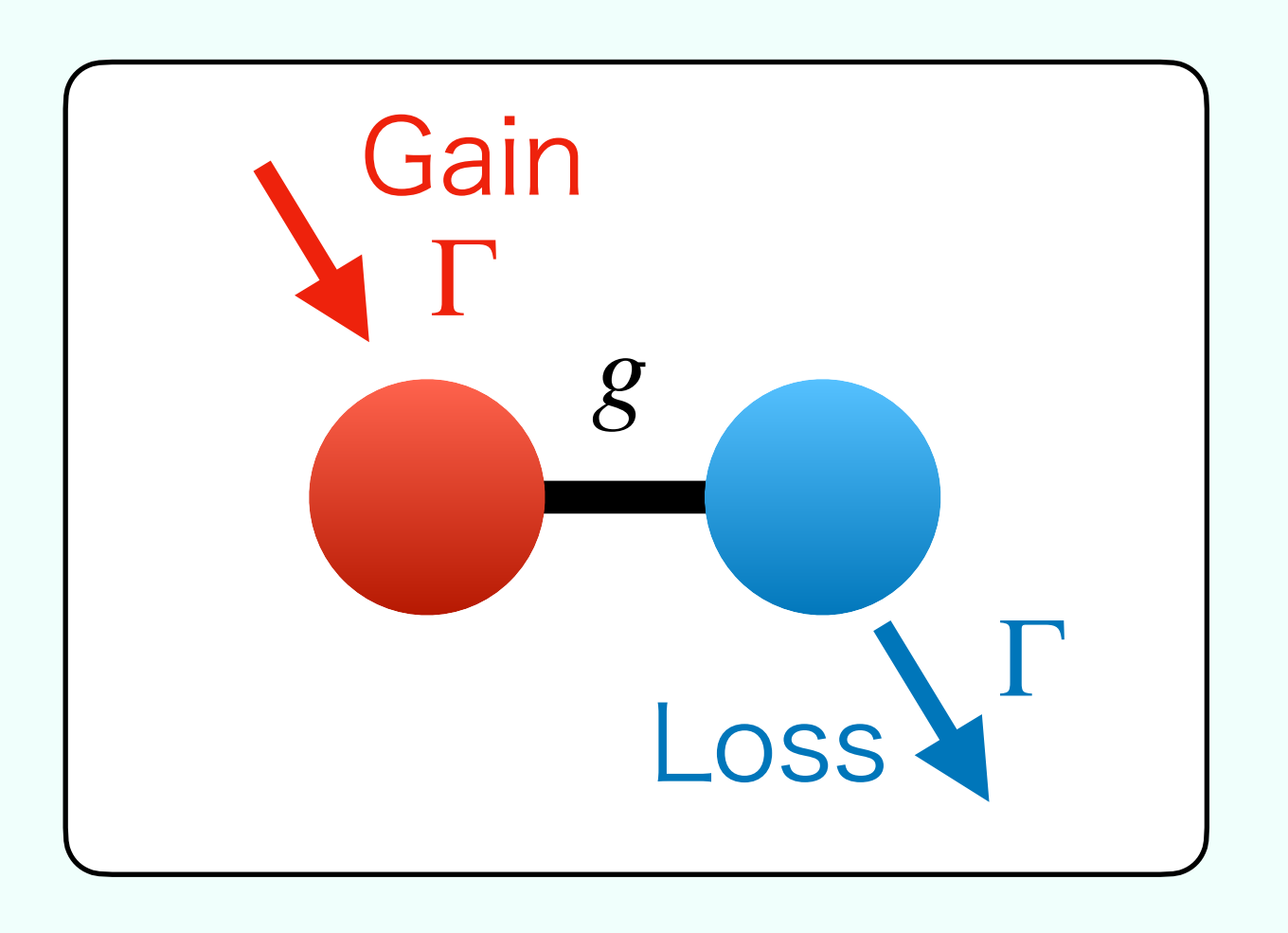
[P. Kongkhambut et al, Science (2022)]



連続時間並進対称性の破れ

### パリティ・時間 (PT) 転移

[C. M. Bender, and S. Boettche, PRL (1998)]



PT対称性の破れ

## PT对称性&PT転移

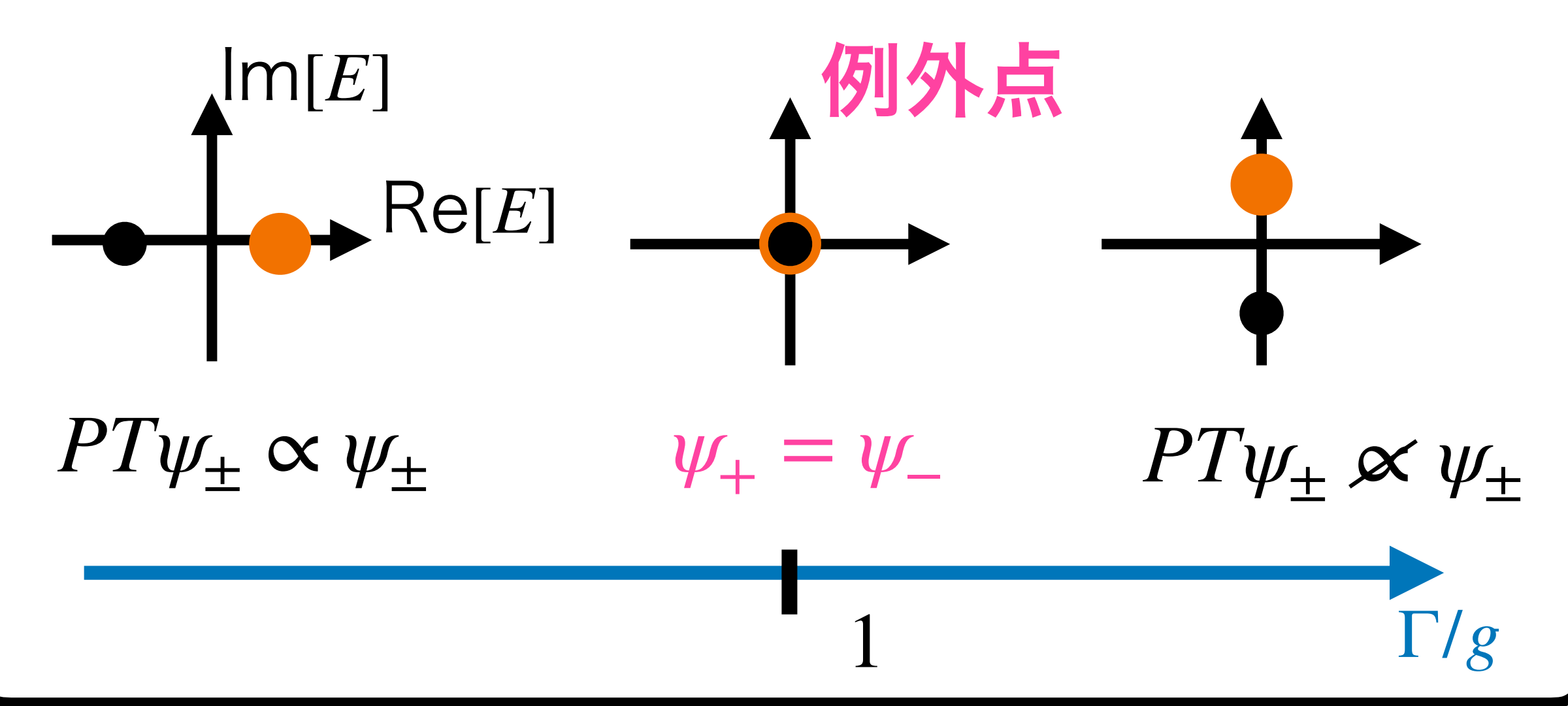
### PT对称性

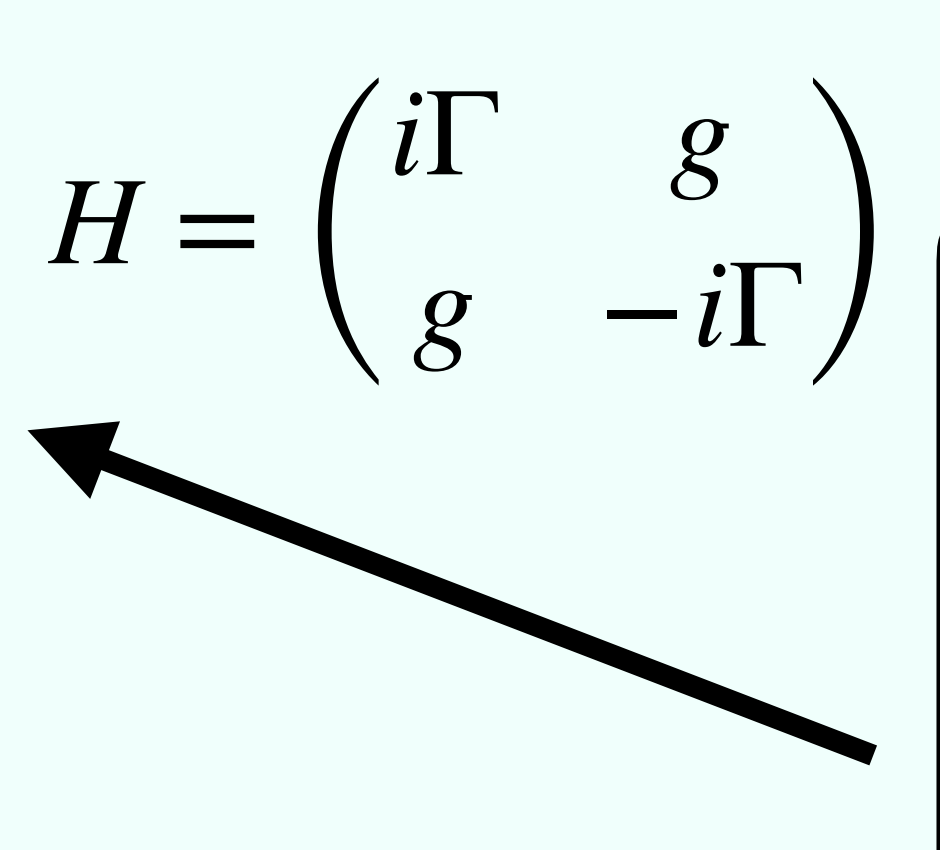
$$[H, PT] = 0 \quad (i\partial_t \psi = H\psi)$$

H: 非エルミートハミルトニアン

P: パリティ演算子 T: 時間反転演算子

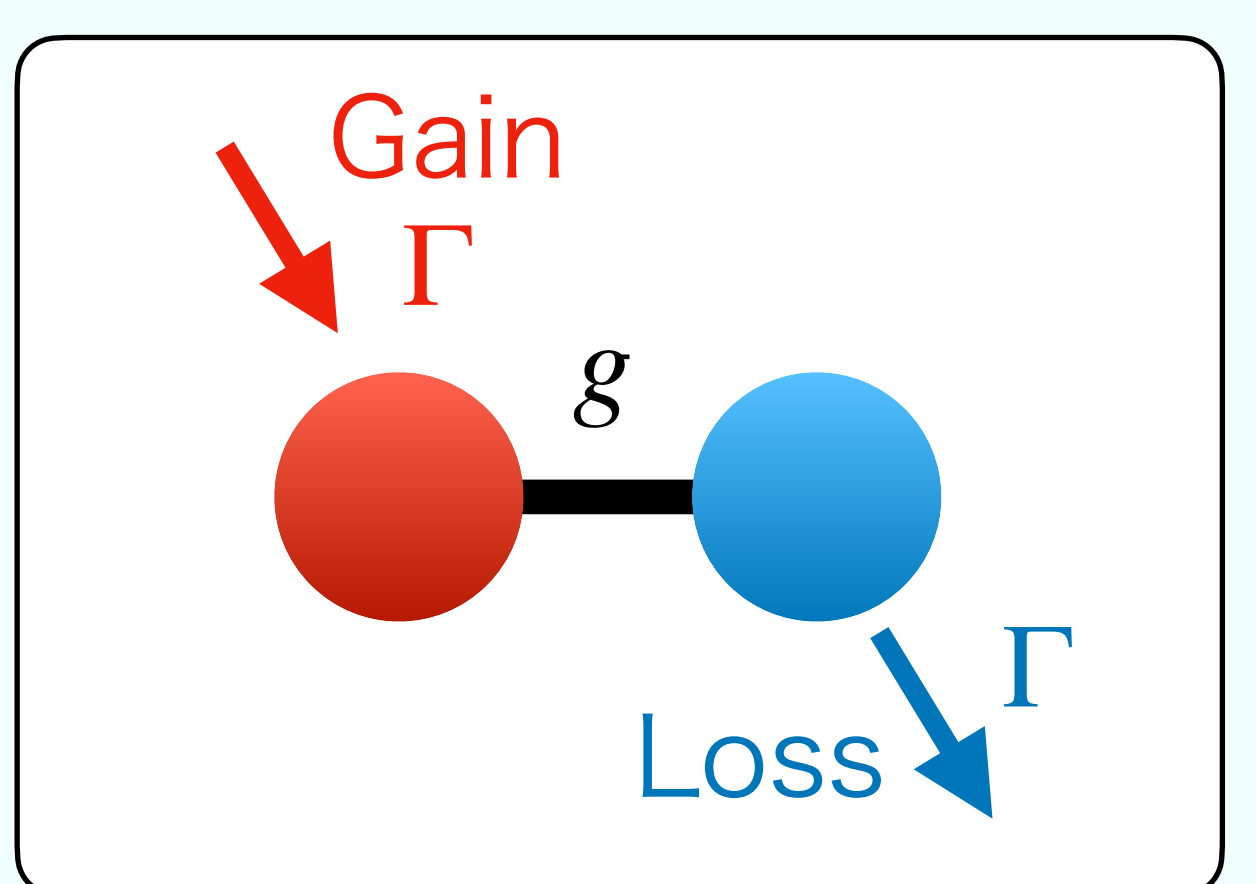






パリティ・時間 (PT) 転移

[C. M. Bender, and S. Boettche, PRL (1998)]



スペクトル転移であり、相転移ではない!

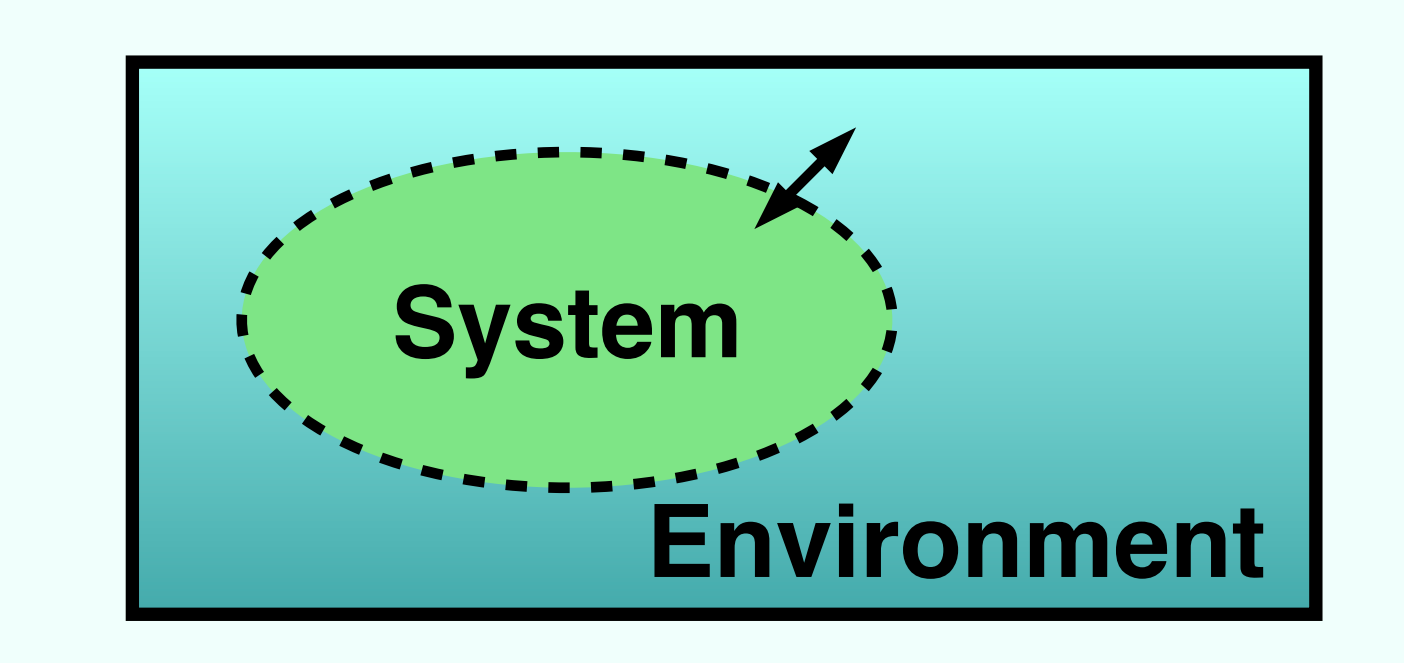
PT対称性の破れ

#### Open question

PT対称性の破れを伴う開放量子系の定常状態の相転移は存在するか?

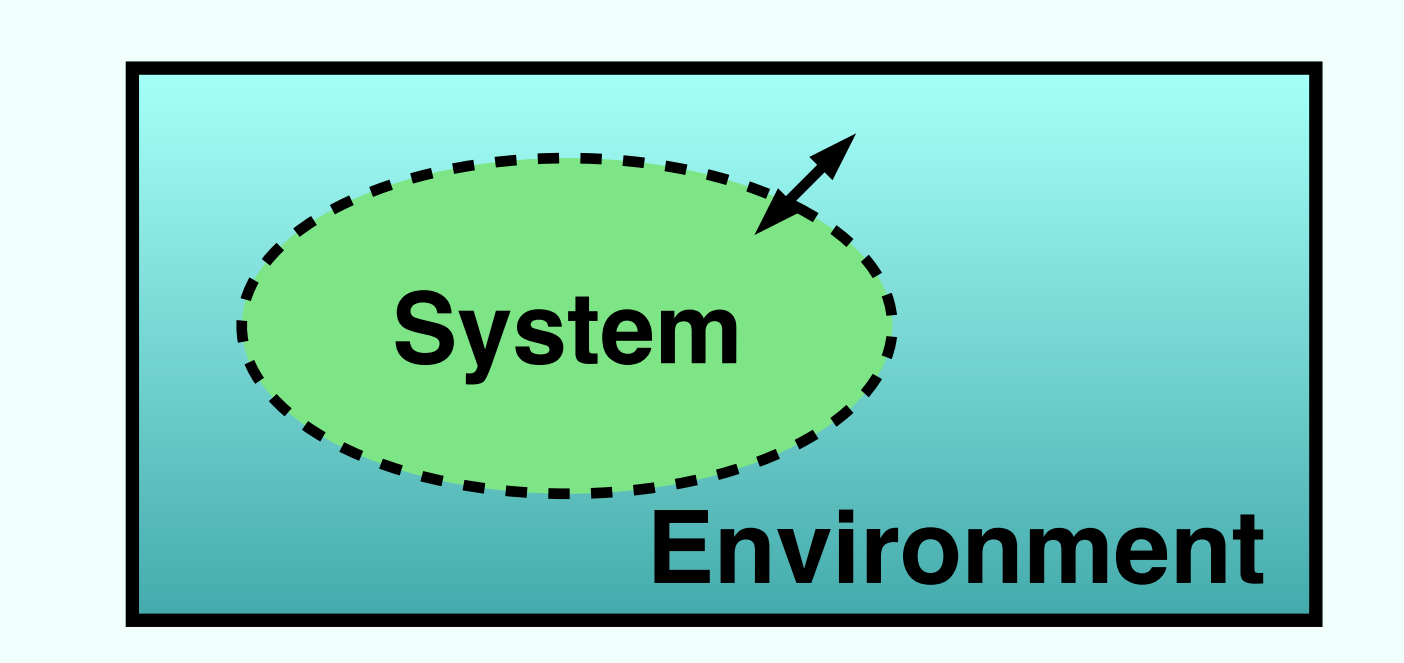
#### GKSL (Gorini-Kossakowski-Sudarshan-Lindblad) 方程式 -

$$\dot{\rho}=\hat{\mathscr{L}}[H,\{L_{\mu}\}]\rho=-i[H,\rho]+\sum 2L_{\mu}\rho L_{\mu}^{\dagger}-\{L_{\mu}^{\dagger}L_{\mu},\rho\}$$
 Linbladian 超演算子 コヒーレント項 インコヒーレント(散逸)項



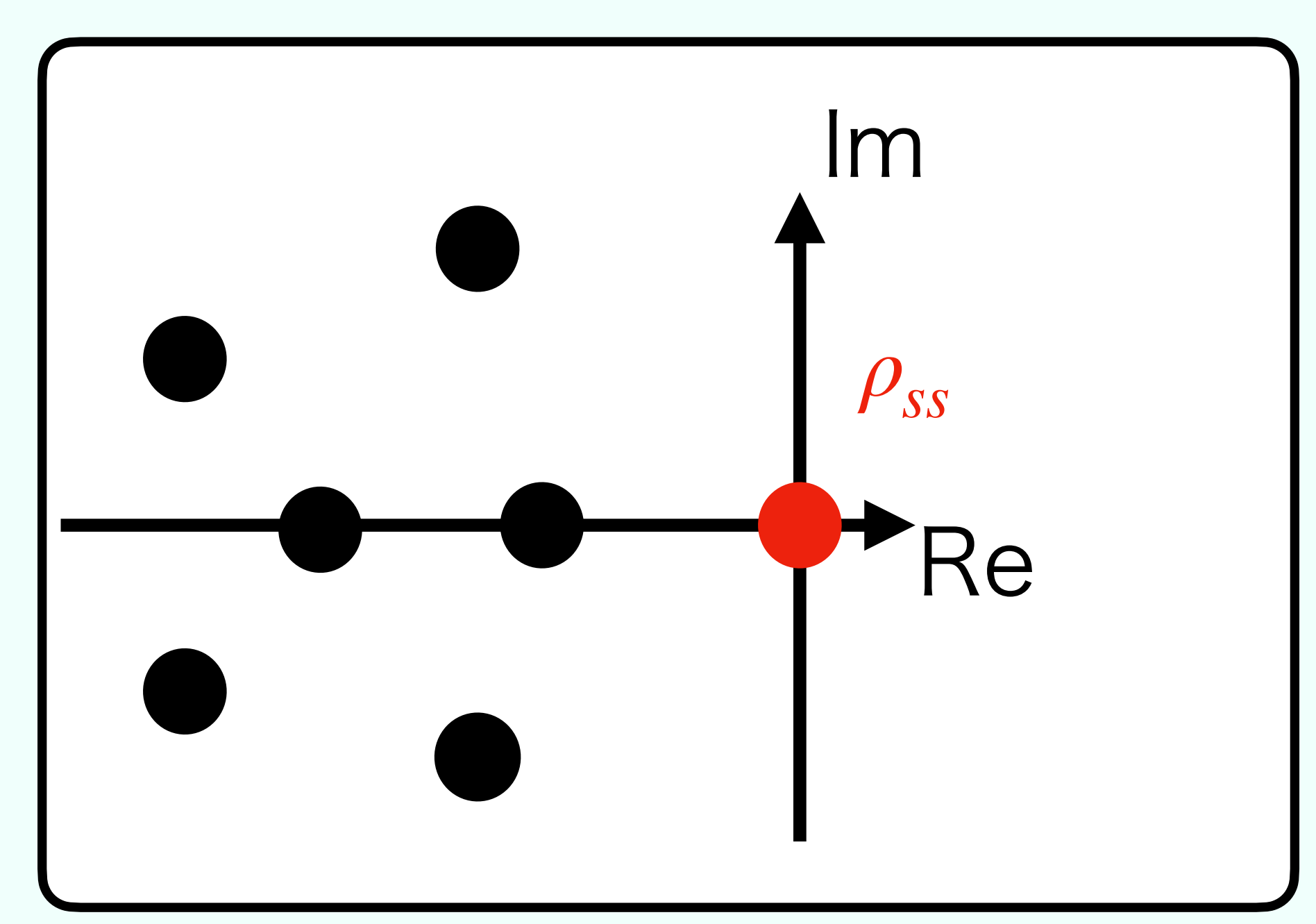
#### GKSL (Gorini-Kossakowski-Sudarshan-Lindblad) 方程式 -

$$\dot{\rho}=\hat{\mathscr{L}}[H,\{L_{\mu}\}]\rho=-i[H,\rho]+\sum 2L_{\mu}\rho L_{\mu}^{\dagger}-\{L_{\mu}^{\dagger}L_{\mu},\rho\}$$
 Linbladian 超演算子 コヒーレント項 インコヒーレント(散逸)項



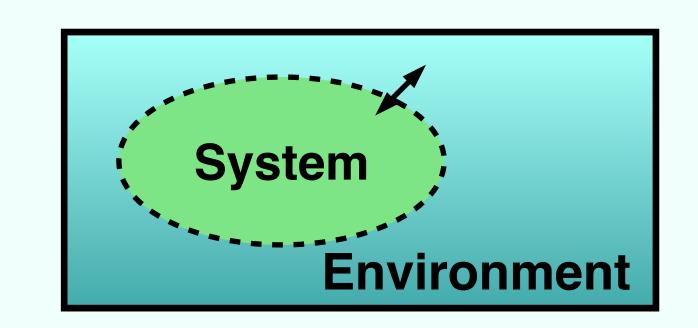
- 定常状態=固有値0の固有モード  $\hat{\mathscr{L}}
  ho_{ss}=0$  ※定常状態は単一であると仮定
- 固有値の実部は0以下  $Re[Spec[\hat{\mathcal{L}}]] \leq 0$

Lindbladianのスペクトル



#### GKSL (Gorini-Kossakowski-Sudarshan-Lindblad) 方程式 -

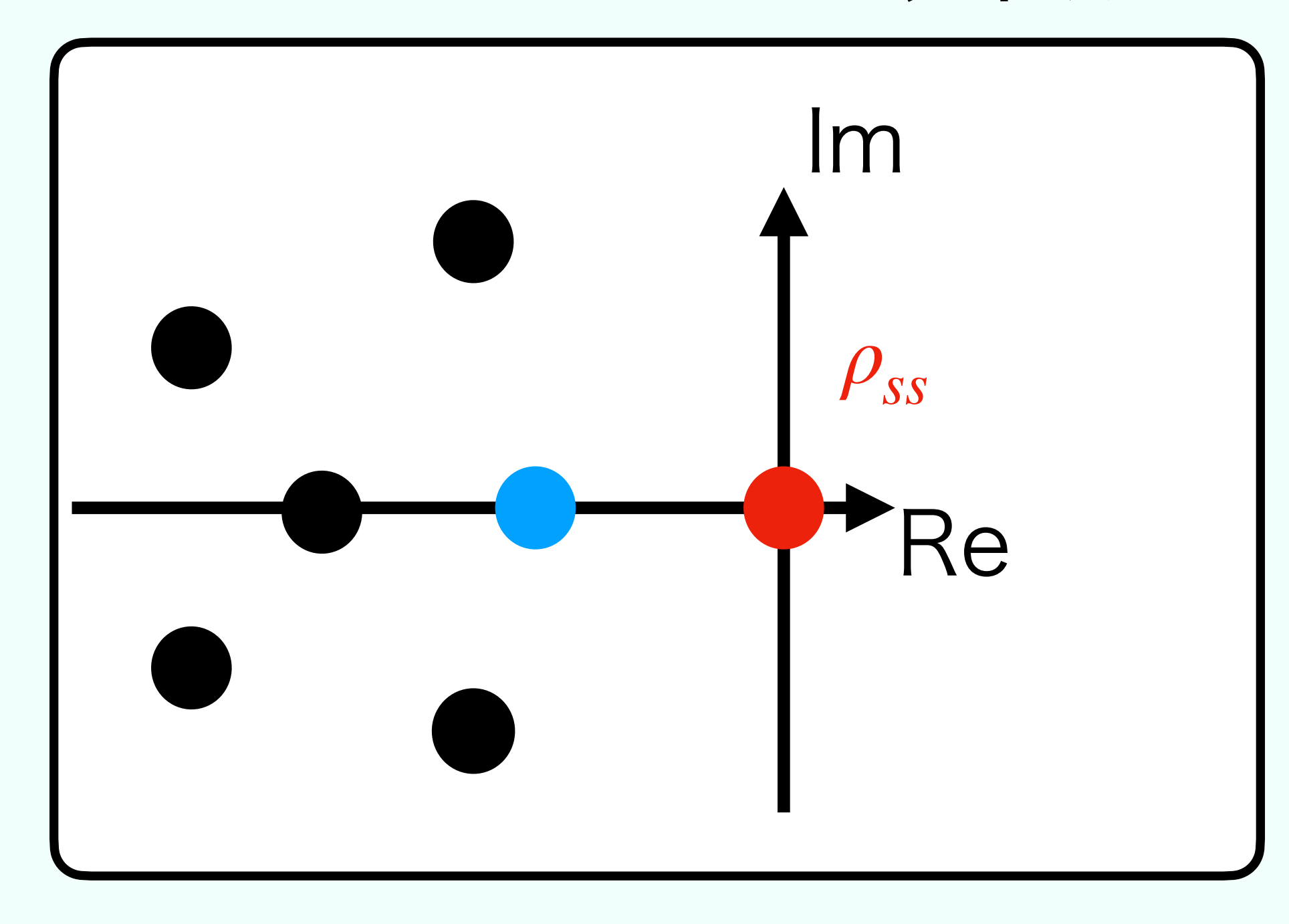
$$\dot{\rho}=\hat{\mathscr{L}}[H,\{L_{\mu}\}]\rho=-i[H,\rho]+\sum 2L_{\mu}\rho L_{\mu}^{\dagger}-\{L_{\mu}^{\dagger}L_{\mu},\rho\}$$
 Linbladian 超演算子 コヒーレント項 インコヒーレント(散逸)項



- 定常状態=固有値0の固有モード  $\hat{\mathscr{L}}
  ho_{ss}=0$  ※定常状態は単一であると仮定
- 固有値の実部は0以下  $Re[Spec[\hat{\mathcal{L}}]] \leq 0$
- 対称性 =  $\hat{\mathcal{L}}$  と(反)可換である超演算子の存在 e.g)  $Z_2$  対称性  $[\hat{\mathcal{L}}, \hat{\mathcal{L}}_2] = 0, \hat{\mathcal{L}}_2 \cdot = Z_2 \cdot Z_2^{-1}$
- 異なる対称セクターの固有モードの縮退によって、 対称性の自発的破れが生じる

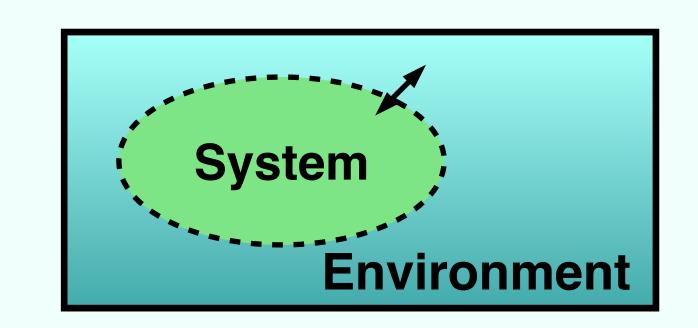
F. Minganti et al., Phys. Rev. A 98, 042118 (2018)

#### Lindbladianのスペクトル



#### GKSL (Gorini-Kossakowski-Sudarshan-Lindblad) 方程式 -

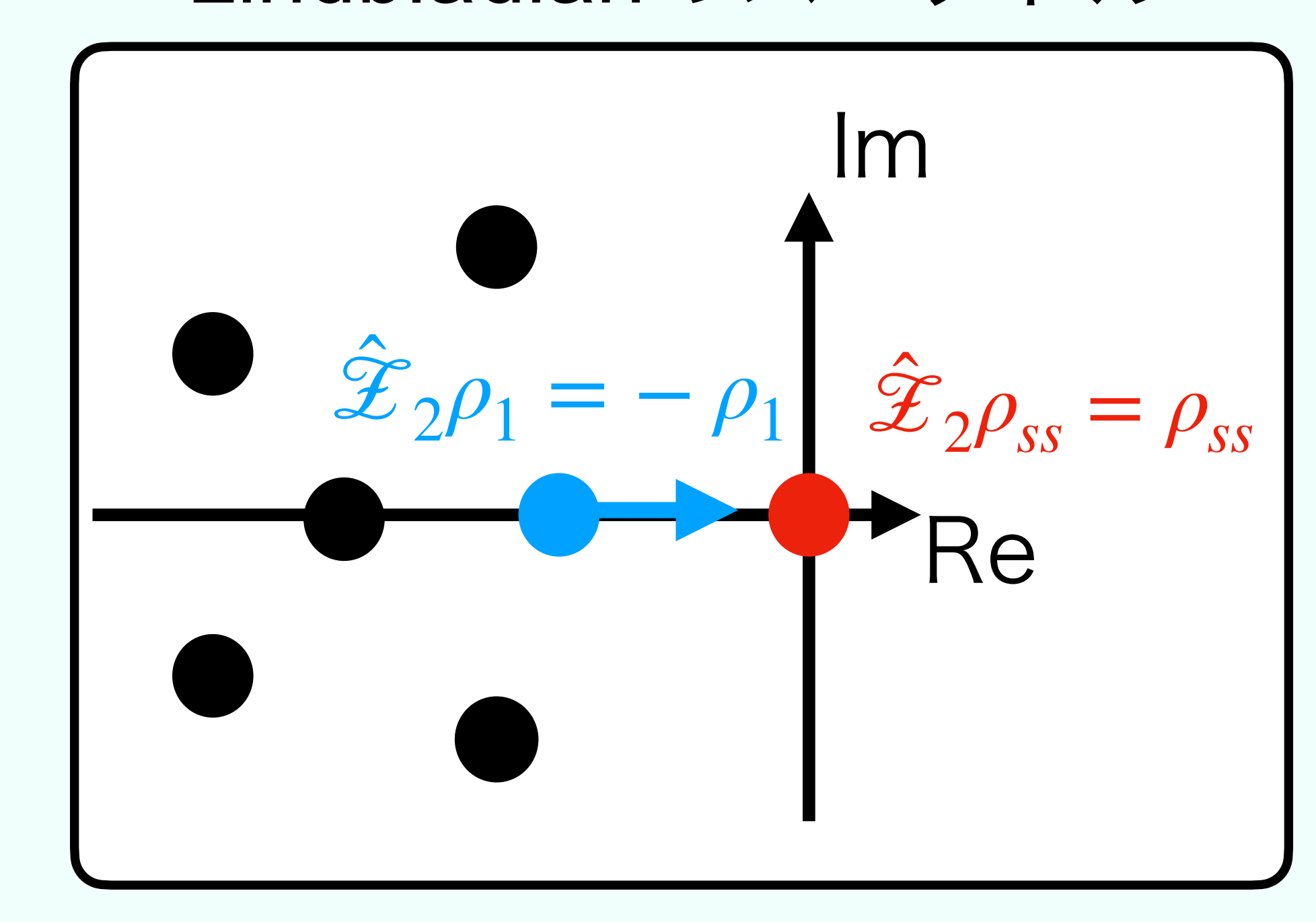
$$\dot{\rho}=\hat{\mathscr{L}}[H,\{L_{\mu}\}]\rho=-i[H,\rho]+\sum 2L_{\mu}\rho L_{\mu}^{\dagger}-\{L_{\mu}^{\dagger}L_{\mu},\rho\}$$
 Linbladian 超演算子 コヒーレント項 インコヒーレント(散逸)項



- 定常状態=固有値0の固有モード  $\hat{\mathscr{L}}
  ho_{ss}=0$  ※定常状態は単一であると仮定
- 固有値の実部は0以下  $Re[Spec[\hat{\mathcal{L}}]] \leq 0$
- 対称性 =  $\hat{\mathcal{L}}$  と(反)可換である超演算子の存在 e.g)  $Z_2$  対称性  $[\hat{\mathcal{L}}, \hat{\mathcal{L}}_2] = 0, \hat{\mathcal{L}}_2 \cdot = Z_2 \cdot Z_2^{-1}$
- 異なる対称セクターの固有モードの縮退によって、 対称性の自発的破れが生じる

F. Minganti et al., Phys. Rev. A 98, 042118 (2018)

#### Lindbladianのスペクトル



## Lindbladian PT対称性

### Lindbladian PT対称性をどのように定義する?

$$H \leftrightarrow i \hat{\mathcal{L}}$$
  $[i \hat{\mathcal{L}}, \hat{\mathcal{L}}] = 0$   $\Longrightarrow$   $\operatorname{Spec}[\hat{\mathcal{L}}] \ni \pm a - ib$   $(a, b \in \mathbb{R})$   $i\hbar\dot{\psi} = H\psi$   $\dot{\rho} = \hat{\mathcal{L}}\rho$  これは  $\operatorname{Re}[\operatorname{Spec}[\hat{\mathcal{L}}]] \leq 0$  と矛盾

## Lindbladian PT対称性

### Lindbladian PT対称性をどのように定義する?

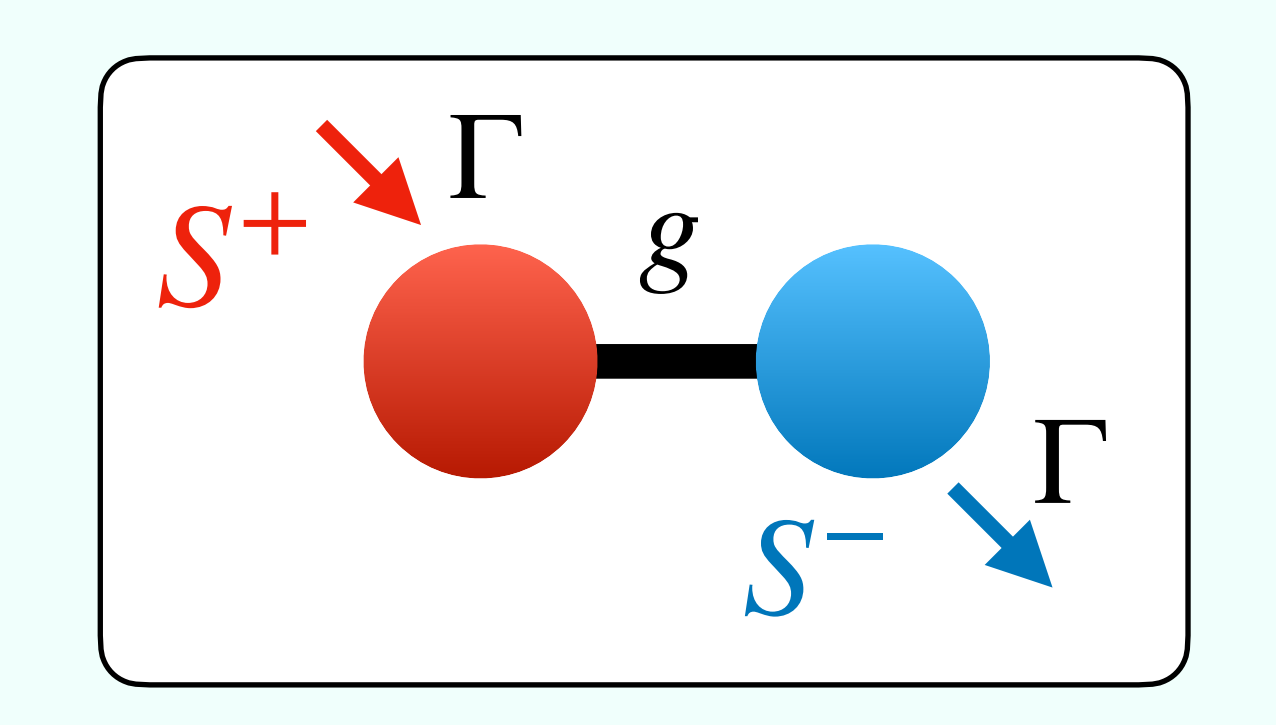
$$H \leftrightarrow i\hat{\mathcal{L}}$$
  $[i\hat{\mathcal{L}}\hat{\mathcal{J}}\hat{\mathcal{T}}] = 0$   $\Longrightarrow$   $\operatorname{Spec}[\hat{\mathcal{L}}] \ni \pm a - ib$   $(a, b \in \mathbb{R})$   $i\hbar\dot{\psi} = H\psi$   $\dot{\rho} = \hat{\mathcal{L}}\rho$  これは  $\operatorname{Re}[\operatorname{Spec}[\hat{\mathcal{L}}]] \leq 0$  と矛盾

Lindbladian PT (L-PT)対称性 J. Huber et al., Scipost (2022)

$$\hat{\mathcal{L}}[PTH^{\dagger}(PT)^{-1}, \{PTL_{\mu}^{\dagger}(PT)^{-1}\}] = \hat{\mathcal{L}}[H, \{L_{\mu}\}]$$

H と  $L_{\mu}$ に対して対称変換を行った時の不変性として定義

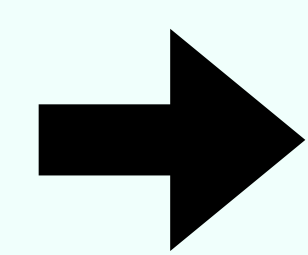
- 典型的なゲインとロスが釣り合った系はL-PT対称性を満たす
- モデル依存な解析でユニタリ対称性の自発的破れを伴わない 相転移が生じることが報告されている YN and TS, PRA (2023)



## 研究内容

### L-PT対称性を満たすクラスで生じる相転移の普遍的な性質は何か?

• 交換関係に書き直せないので、通常の対称性の議論ができない、、、



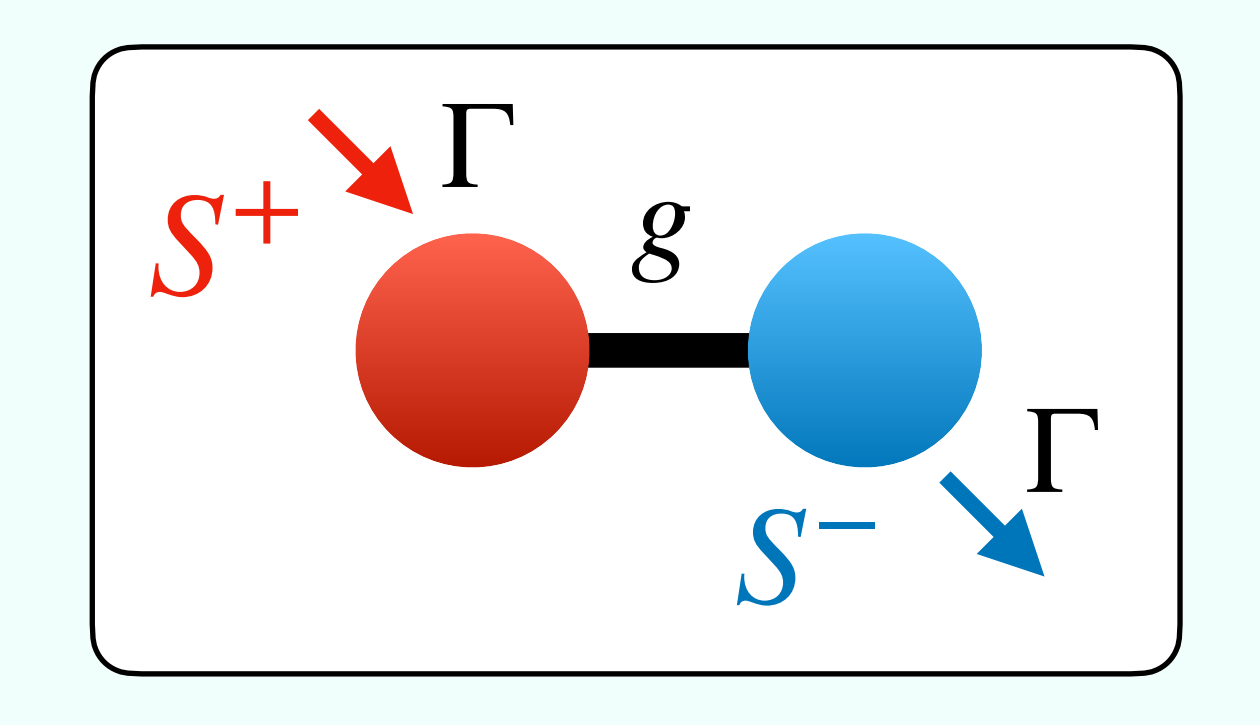
L-PT対称性を満たすクラスの平均場解析、および基本的性質の解明

Lindbladian PT (L-PT)対称性 J. Huber et al., Scipost (2022)

$$\hat{\mathcal{L}}[PTH^{\dagger}(PT)^{-1}, \{PTL_{\mu}^{\dagger}(PT)^{-1}\}] = \hat{\mathcal{L}}[H, \{L_{\mu}\}]$$

H と  $L_{\mu}$ に対して対称変換を行った時の不変性として定義

- 典型的なゲインとロスが釣り合った系はL-PT対称性を満たす
- モデル依存な解析でユニタリ対称性の自発的破れを伴わない 相転移が生じることが報告されている YN and TS, PRA (2023)



1. Lindbladian PT対称性を満たす、粒子数保存のあるボソンモデルの平均場

方程式は、非線形PT対称性を満たす

[YN, R. Hanai and T. Sasamoto, arXiv:2406.09018]

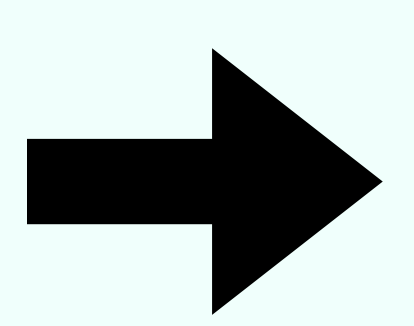
 $\langle a^{\dagger}aa \rangle \simeq \langle a^{\dagger} \rangle \langle a \rangle^2$  全粒子数Nが十分大きい時に正当化される

### ミクロな時間発展方程式

$$\langle \dot{a}_i \rangle = i \langle [a_i, H] \rangle$$

$$+ \sum_{\mu} \langle [L_{\mu}^{\dagger}, a_i] L_{\mu} \rangle + \langle [L_{\mu}^{\dagger} [a_i, L_{\mu}] \rangle$$

#### 平均場近似



### 非線形平均場方程式

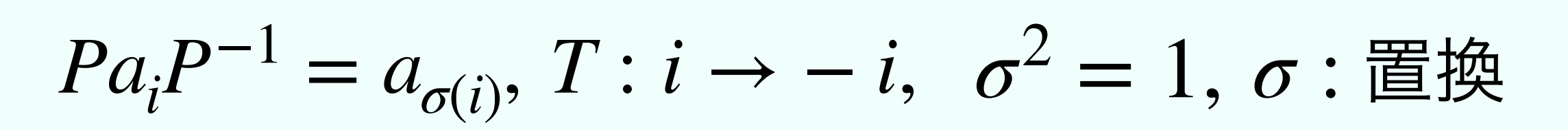
$$i\partial_t \mathbf{q} = \mathbf{f}(\mathbf{q})$$

$$\mathbf{f} := (f_1, f_2, \dots, f_l)^T$$

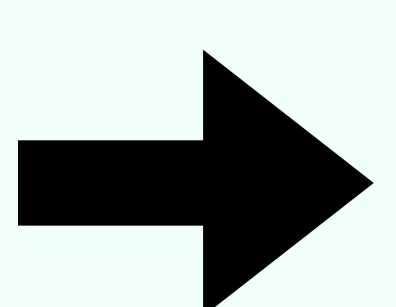
$$\mathbf{q} := (\langle a_1 \rangle, \langle a_2 \rangle, \dots, \langle a_l \rangle)^T$$

#### Lindbladian PT 対称性

$$\hat{\mathcal{L}}[PTH^{\dagger}(PT)^{-1}, \{PTL_{\mu}^{\dagger}(PT)^{-1}\}] = \hat{\mathcal{L}}[H, \{L_{\mu}\}]$$



hoが解であるときでも、 $PT
ho(PT)^{-1}$ が解であるとは限らない



#### 非線形PT対称性

$$\tilde{P}\tilde{T}\mathbf{f}(\mathbf{q}(t)) = \mathbf{f}(\tilde{P}\tilde{T}\mathbf{q}(t))$$

$$[\tilde{P}\mathbf{f}]_i = \mathbf{f}_{\sigma(i)}, \ \tilde{T}: i \to -i, \ t \to -t$$

qが解であるとき、PTqも解である

### 2. <u>2分割系</u>であるとき、PT対称な相では周期振動が生じ、転移点は臨界例外点となる

→ 一様解は2つのサブ格子の運動方程式で記述できる

[YN, R. Hanai and T. Sasamoto, arXiv:2406.09018]

### 非線形平均場方程式

$$\langle a_A \rangle = r_A \exp(i\theta_A), \ \langle a_B \rangle = r_B \exp(i\theta_B)$$

$$i\partial_{t}\mathbf{q} = \mathbf{f}(\mathbf{q}) = i \begin{pmatrix} G(r_{A}, r_{B}, \Delta\theta)/r_{A} \\ -G(r_{A}, r_{B}, \Delta\theta)/r_{B} \\ H(r_{A}, r_{B}, \Delta\theta) \end{pmatrix}$$

$$\mathbf{q} := (r_A, r_B, \Delta \theta)^T$$
,  $\Delta \theta := \theta_A - \theta_B$ ,  $r_A^2 + r_B^2 = const$ .

 $G(H): r_A, r_B$ の入れ替えに対して(反)対称

$$\tilde{P}\tilde{T}\mathbf{f}(\mathbf{q}(t)) = \mathbf{f}(\tilde{P}\tilde{T}\mathbf{q}(t)), \ \tilde{P}\tilde{T}(r_A, r_B, \Delta\theta_{AB})^T = (r_B, r_A, \Delta\theta_{AB})^T$$

### 線形安定性解析

$$\partial_t \delta \mathbf{q} = J \delta \mathbf{q}, \ \delta \mathbf{q} := (\delta r_A, \delta \Delta \theta)^T$$

### ある固定点q<sub>ss</sub>に対して

$$J = \begin{pmatrix} \gamma_1(\mathbf{q}) & \alpha(\mathbf{q}) \\ \beta(\mathbf{q}) & \gamma_2(\mathbf{q}) \end{pmatrix} \qquad \begin{aligned} \gamma_1(\mathbf{q}) &:= -\partial_{r_B} G/r_B + \partial_{r_A} G/r_A, \\ \gamma_2(\mathbf{q}) &:= \partial_{\Delta \theta} H \end{aligned}$$

$$\gamma_1(\mathbf{q}_{ss}) = -\gamma_1(\tilde{P}\tilde{T}\mathbf{q}_{ss})$$
$$\gamma_2(\mathbf{q}_{ss}) = -\gamma_2(\tilde{P}\tilde{T}\mathbf{q}_{ss})$$

2. <u>2分割系</u>であるとき、PT対称な相では周期振動が生じ、転移点は臨界例外点となる

→ 一様解は2つのサブ格子の運動方程式で記述できる

[YN, R. Hanai and T. Sasamoto, arXiv:2406.09018]

## PT対称な固定点 $(q_{cc} = \tilde{P}\tilde{T}q_{cc})$ 周りでの線形安定性解析

$$\gamma_{1,2}(\mathbf{q}_{ss}) = -\gamma_{1,2}(\tilde{P}\tilde{T}\mathbf{q}_{ss})$$

$$\therefore \gamma_{1,2}(\mathbf{q}_{ss}) = 0$$

$$J_{PT} = \begin{pmatrix} \gamma_1(\mathbf{q}_{ss}) & \alpha(\mathbf{q}_{ss}) \\ \beta(\mathbf{q}_{ss}) & \gamma_2(\mathbf{q}_{ss}) \end{pmatrix}$$

### 2. <u>2分割系</u>であるとき、PT対称な相では周期振動が生じ、転移点は臨界例外点となる

→ 一様解は2つのサブ格子の運動方程式で記述できる

[YN, R. Hanai and T. Sasamoto, arXiv:2406.09018]

## PT対称な固定点 $(q_{cc} = \tilde{P}\tilde{T}q_{cc})$ 周りでの線形安定性解析

$$\gamma_{1,2}(\mathbf{q}_{ss}) = -\gamma_{1,2}(\tilde{P}\tilde{T}\mathbf{q}_{ss})$$

$$\therefore \gamma_{1,2}(\mathbf{q}_{ss}) = 0$$

$$J_{PT} = \begin{pmatrix} \mathbf{q}_{ss} \\ \gamma_{1}(\mathbf{q}_{ss}) \\ \beta(\mathbf{q}_{ss}) \end{pmatrix} \begin{pmatrix} \mathbf{q}_{ss} \\ \gamma_{2}(\mathbf{q}_{ss}) \\ \gamma_{2}(\mathbf{q}_{ss}) \end{pmatrix}$$

$$= 0$$

### 集団励起モード・スペクトル $\alpha, \beta \in \mathbb{R}$

$$\delta q_{\pm} = (\pm \sqrt{\alpha}, \sqrt{\beta})^T, \quad \lambda = \pm \sqrt{\alpha \beta}$$

$$\cdot \alpha \beta > 0 \rightarrow$$
不安定固定点

$$\cdot \alpha \beta < 0 \rightarrow$$
 永久周期振動

$$\cdot \alpha\beta = 0 \rightarrow \delta q_{+} = \delta q_{-}$$
 臨界例外点

M. Fruchart et al., Non-reciprocal phase transitions, Nature 592 (2021).

### 2. <u>2分割系</u>であるとき、PT対称な相では周期振動が生じ、転移点は臨界例外点となる

→ 一様解は2つのサブ格子の運動方程式で記述できる

[YN, R. Hanai and T. Sasamoto, arXiv:2406.09018]

## PT対称な固定点 $(q_{cc} = \tilde{P}\tilde{T}q_{cc})$ 周りでの線形安定性解析

#### 集団励起モード・スペクトル $\alpha, \beta \in \mathbb{R}$

$$\delta q_{\pm} = (\pm \sqrt{\alpha}, \sqrt{\beta})^T, \quad \lambda = \pm \sqrt{\alpha \beta}$$

- ο 非平衡特有の転移点
- 臨界例外点近傍で非自明な現象が現れる
- エントロピー生成の発散 T. Suchanek, et al., Phys. Rev. E 108, 064610 (2023).
- 巨視的揺らぎ R. Hanai and P. B. Littlewood, PRR (2020).

- $\cdot \alpha \beta > 0 \rightarrow$ 不安定固定点
- $\cdot \alpha \beta < 0 \rightarrow$  永久周期振動

$$\cdot \alpha \beta = 0 \rightarrow \delta q_{+} = \delta q_{-}$$
> 臨界例外点

M. Fruchart et al., Non-reciprocal phase transitions, Nature 592 (2021).

### 2. <u>2分割系</u>であるとき、PT対称な相では周期振動が生じ、転移点は臨界例外点となる

→ 一様解は2つのサブ格子の運動方程式で記述できる

[YN, R. Hanai and T. Sasamoto, arXiv:2406.09018]

### PT対称な固定点 $(q_{cc} = \tilde{P}\tilde{T}q_{cc})$ 周りでの線形安定性解析

$$\gamma_{1,2}(\mathbf{q}_{ss}) = -\gamma_{1,2}(\tilde{P}\tilde{T}\mathbf{q}_{ss})$$

$$\therefore \gamma_{1,2}(\mathbf{q}_{ss}) = 0$$

$$= 0$$

$$\beta(\mathbf{q}_{ss}) \quad \alpha(\mathbf{q}_{ss})$$

$$\beta(\mathbf{q}_{ss}) \quad \gamma_{2}(\mathbf{q}_{ss})$$

$$= 0$$

集団励起モード・スペクトル  $\alpha, \beta \in \mathbb{R}$ 

$$\delta q_{\pm} = (\pm \sqrt{\alpha}, \sqrt{\beta})^T, \quad \lambda = \pm \sqrt{\alpha \beta}$$

PT 対称な相

PT 対称性が破れた相

$$\mathbf{q} = \tilde{P}\tilde{T}\mathbf{q}$$

臨界例外点

永久周期振動

 $\cdot \alpha \beta > 0 \rightarrow$ 不安定固定点

 $\cdot \alpha \beta < 0 \rightarrow$  永久周期振動

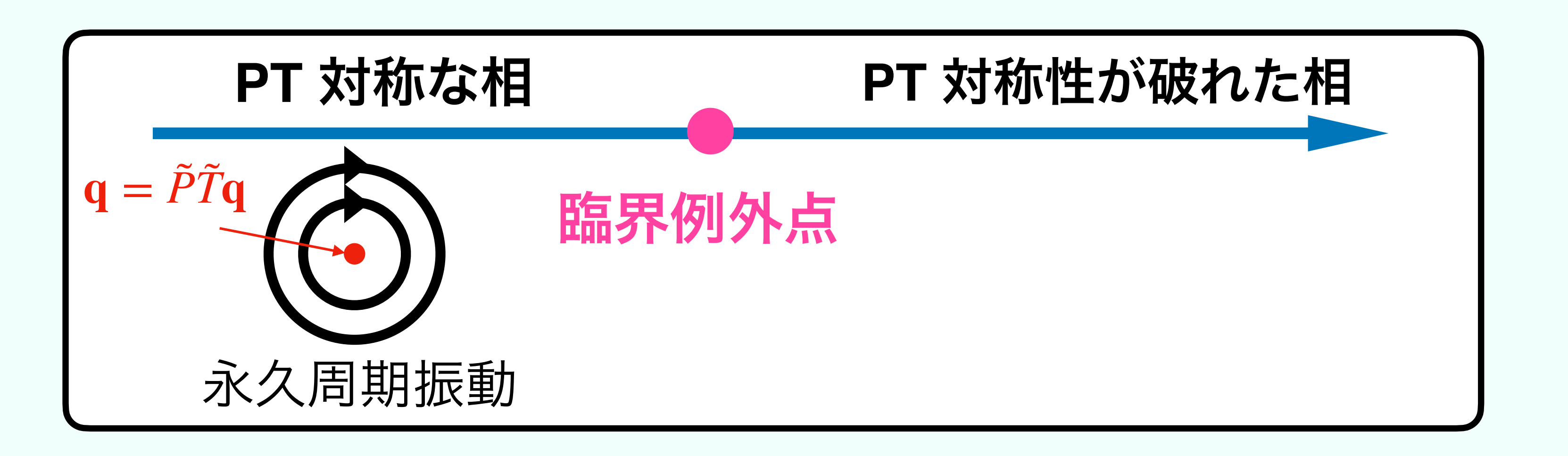
 $\cdot \alpha \beta = 0 \rightarrow \delta q_{+} = \delta q_{-}$  臨界例外点

M. Fruchart et al., Non-reciprocal phase transitions, Nature 592 (2021).

- 2. <u>2分割系</u>であるとき、PT対称な相では周期振動が生じ、転移点は臨界例外点となる
  - → 一様解は2つのサブ格子の運動方程式で記述できる

[YN, R. Hanai and T. Sasamoto, arXiv:2406.09018]

PT対称性の破れた固定点 $(q_{cc} 
eq ilde{P} ilde{T} q_{cc})$ 周りでの線形安定性解析



### 2. <u>2分割系</u>であるとき、PT対称な相では周期振動が生じ、転移点は臨界例外点となる

→ 一様解は2つのサブ格子の運動方程式で記述できる

[YN, R. Hanai and T. Sasamoto, arXiv:2406.09018]

### PT対称性の破れた固定点 $(q_{cc} \neq \tilde{P}\tilde{T}q_{cc})$ 周りでの線形安定性解析

### 集団励起モード・スペクトル

$$J_{PT,b} = \begin{pmatrix} \gamma_1(\mathbf{q}) & \alpha(\mathbf{q}) \\ \beta(\mathbf{q}) & \gamma_2(\mathbf{q}) \end{pmatrix}$$

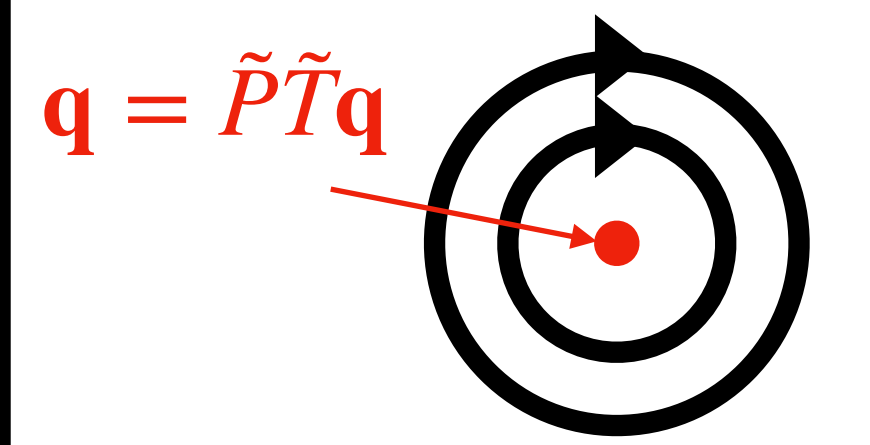
$$\lambda(\mathbf{q}) = R(\mathbf{q}) \pm \sqrt{R(\mathbf{q})^2 + Q(\mathbf{q})}$$

$$R = (\gamma_1 + \gamma_2)/2$$

$$Q = (\alpha\beta - \gamma_1\gamma_2)/4$$

#### PT 対称な相

PT 対称性が破れた相



臨界例外点

永久周期振動

 $R(\mathbf{q}_{ss}) = -R(\tilde{P}\tilde{T}\mathbf{q}_{ss})$   $Q(\mathbf{q}_{ss}) = Q(\tilde{P}\tilde{T}\mathbf{q}_{ss})$ 

### 2. <u>2分割系</u>であるとき、PT対称な相では周期振動が生じ、転移点は臨界例外点となる

→ 一様解は2つのサブ格子の運動方程式で記述できる

[YN, R. Hanai and T. Sasamoto, arXiv:2406.09018]

## PT対称性の破れた固定点 $(q_{cc} \neq \tilde{P}\tilde{T}q_{cc})$ 周りでの線形安定性解析

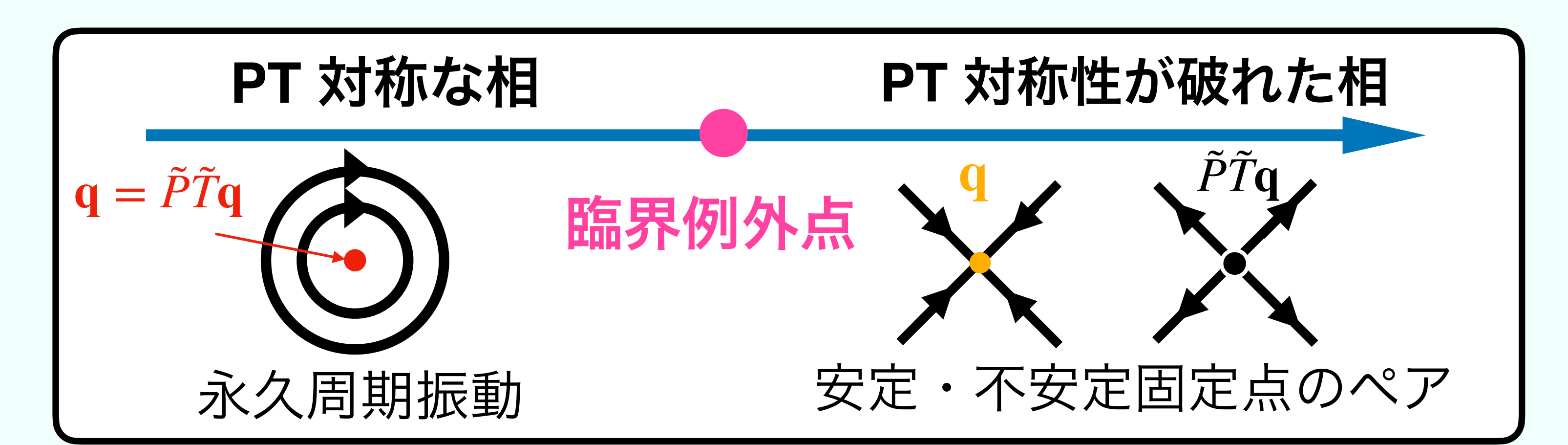
### 集団励起モード・スペクトル

$$J_{PT,b} = \begin{pmatrix} \gamma_1(\mathbf{q}) & \alpha(\mathbf{q}) \\ \beta(\mathbf{q}) & \gamma_2(\mathbf{q}) \end{pmatrix}$$

$$\lambda(\mathbf{q}) = R(\mathbf{q}) \pm \sqrt{R(\mathbf{q})^2 + Q(\mathbf{q})}$$

$$R = (\gamma_1 + \gamma_2)/2$$

$$Q = (\alpha\beta - \gamma_1\gamma_2)/4$$



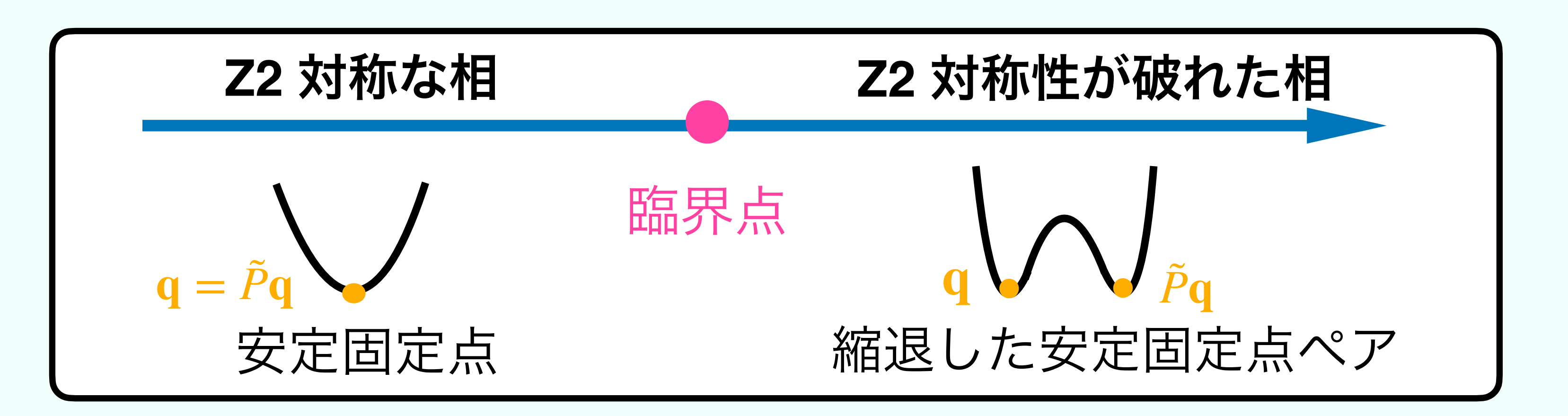
$$R(\mathbf{q}_{ss}) = -R(\tilde{P}\tilde{T}\mathbf{q}_{ss})$$
  $Q(\mathbf{q}_{ss}) = Q(\tilde{P}\tilde{T}\mathbf{q}_{ss})$ 

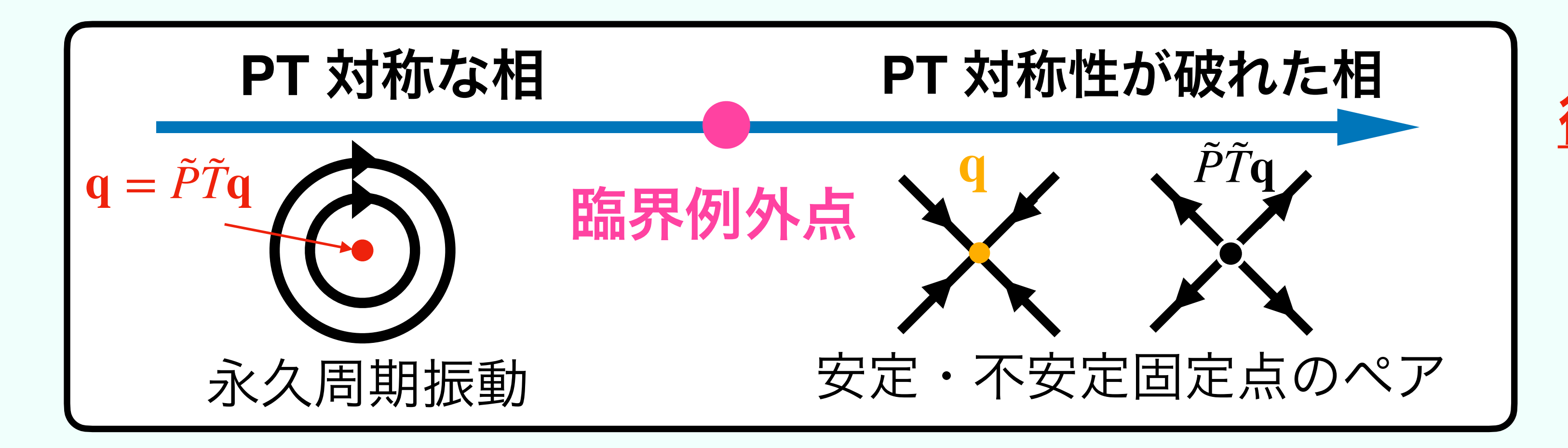
## 研究成果2(ユニタリ対称性の破れとの比較)20

2. <u>2分割系</u>であるとき、PT対称な相では周期振動が生じ、転移点は臨界例外点となる

→ 一様解は2つのサブ格子の運動方程式で記述できる

[YN, R. Hanai and T. Sasamoto, arXiv:2406.09018]





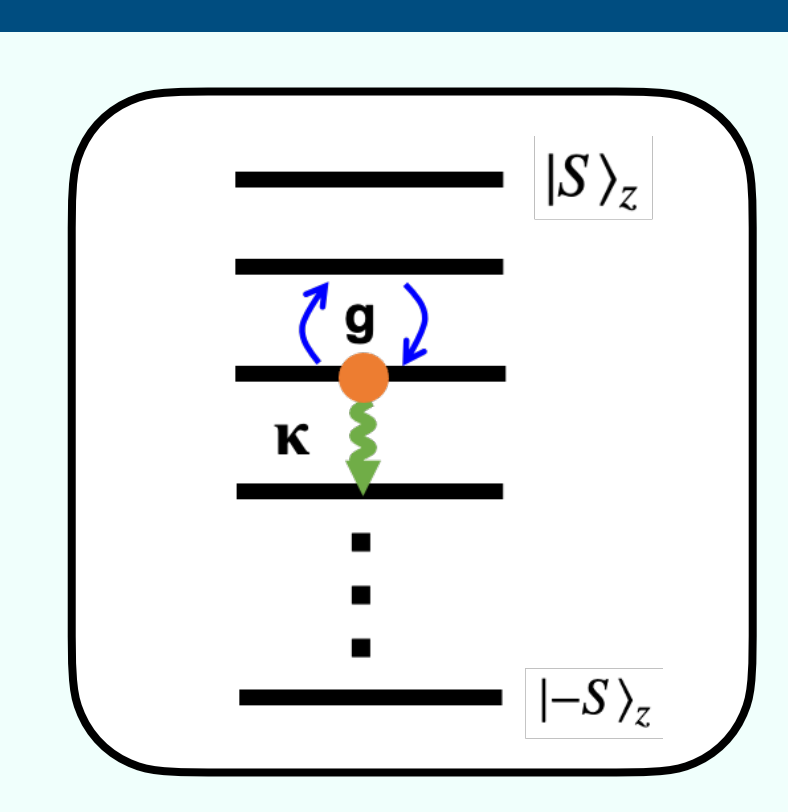
ユニタリ対称性の破れを伴う 従来的な相転移とは質的に異なる 非平衡相転移である!

## 例: 駆動 Dicke 模型 (先行研究)

### 集団スピンモデル→我々のフレームワークが適用できる重要なクラス

駆動 Dicke 模型 [D. F. Walls, et al., 1978]

$$H = 2gS_x = g(a_A^{\dagger}a_B + a_A a_B^{\dagger}), \quad L = \sqrt{\kappa/S} S_- = \sqrt{\kappa/S} a_A a_B^{\dagger}$$
  $S_\alpha = \sum_{i=1}^{2S} \sigma_\alpha^i$  シュウィンガーボソン変換



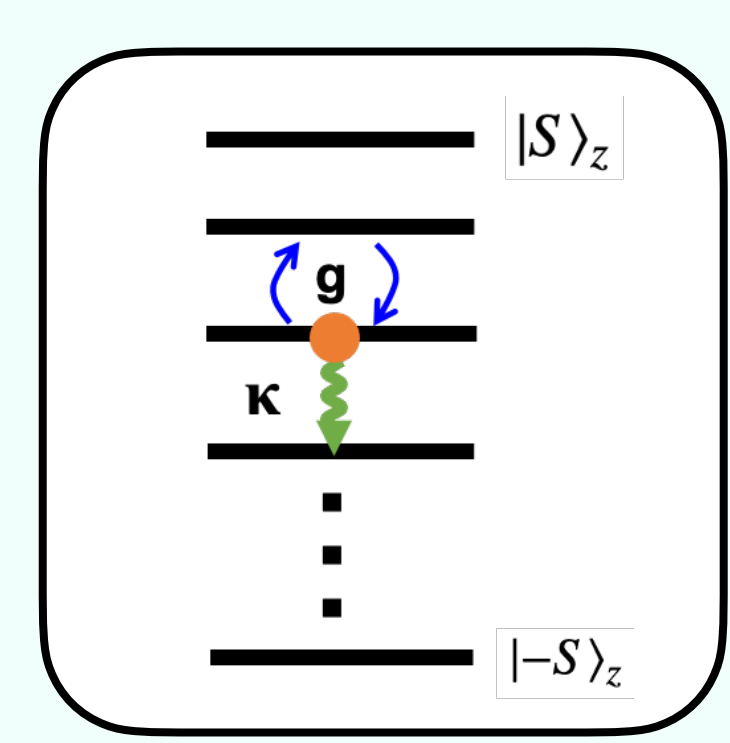
## 例: 駆動 Dicke 模型 (先行研究)

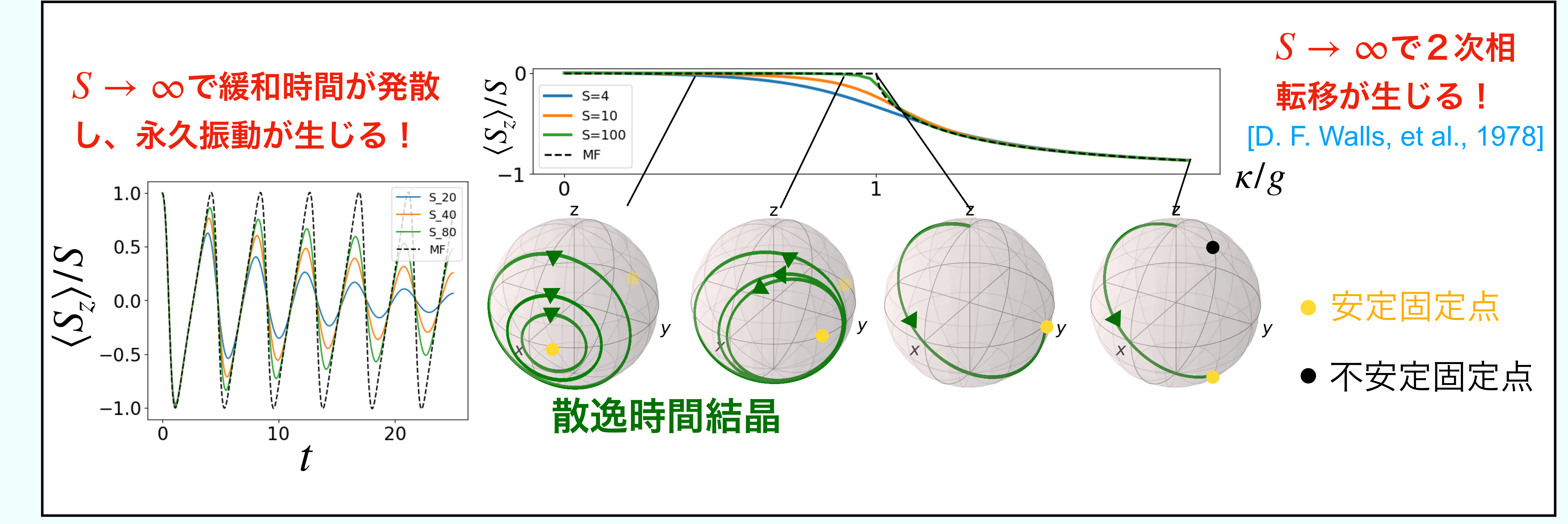
### 集団スピンモデル→我々のフレームワークが適用できる重要なクラス

駆動 Dicke 模型 [D. F. Walls, et al., 1978]

$$H = 2gS_x = g(a_A^{\dagger}a_B + a_A a_B^{\dagger}), \quad L = \sqrt{\kappa/S} S_- = \sqrt{\kappa/S} a_A a_B^{\dagger}$$
  
シュウィンガーボソン変換

$$S_{\alpha} = \sum_{i=1}^{2S} \sigma_{\alpha}^{i}$$



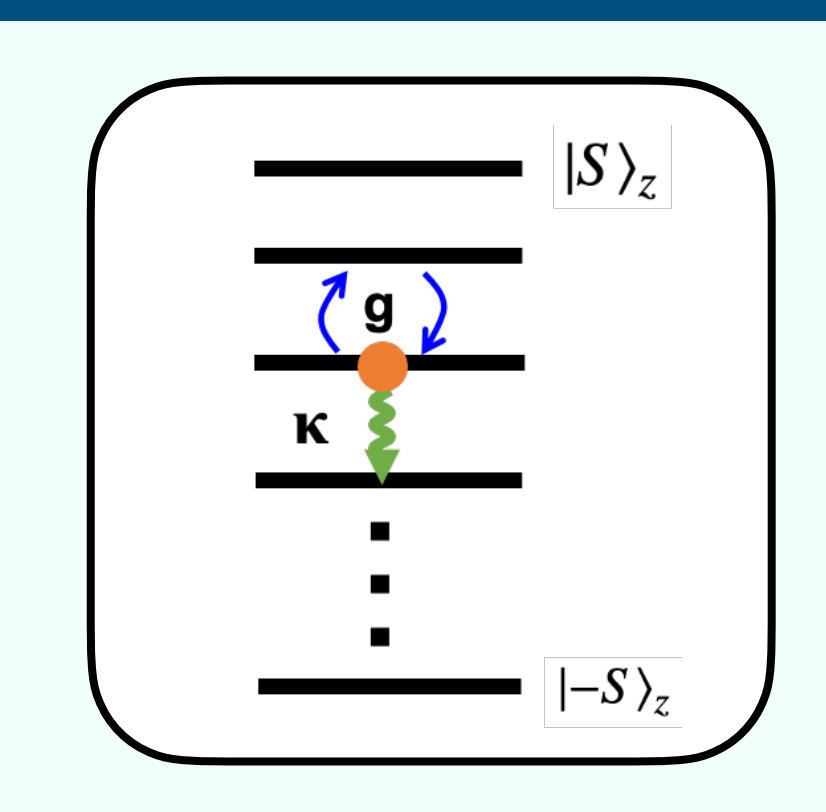


## 例: 駆動 Dicke 模型(PT対称性の視点から)23

### 集団スピンモデル→我々のフレームワークが適用できる重要なクラス

### 駆動 Dicke 模型 [D. F. Walls, et al., 1978]

$$H = 2gS_x = g(a_A^{\dagger}a_B + a_A a_B^{\dagger}), \quad L = \sqrt{\kappa/S} S_- = \sqrt{\kappa/S} a_A a_B^{\dagger}$$
 シュウィンガーボソン変換



#### PT対称性

 $\tilde{P}: A \leftrightarrow B, \ \tilde{T}: i \rightarrow -i$ 

#### 秩序変数

$$\mathbf{q} = \tilde{P}\tilde{T}\mathbf{q} \Leftrightarrow \langle S_z \rangle = 0$$

$$\mathbf{q} = (\langle a_A \rangle, \langle a_B \rangle)^T$$

#### 集団励起モード

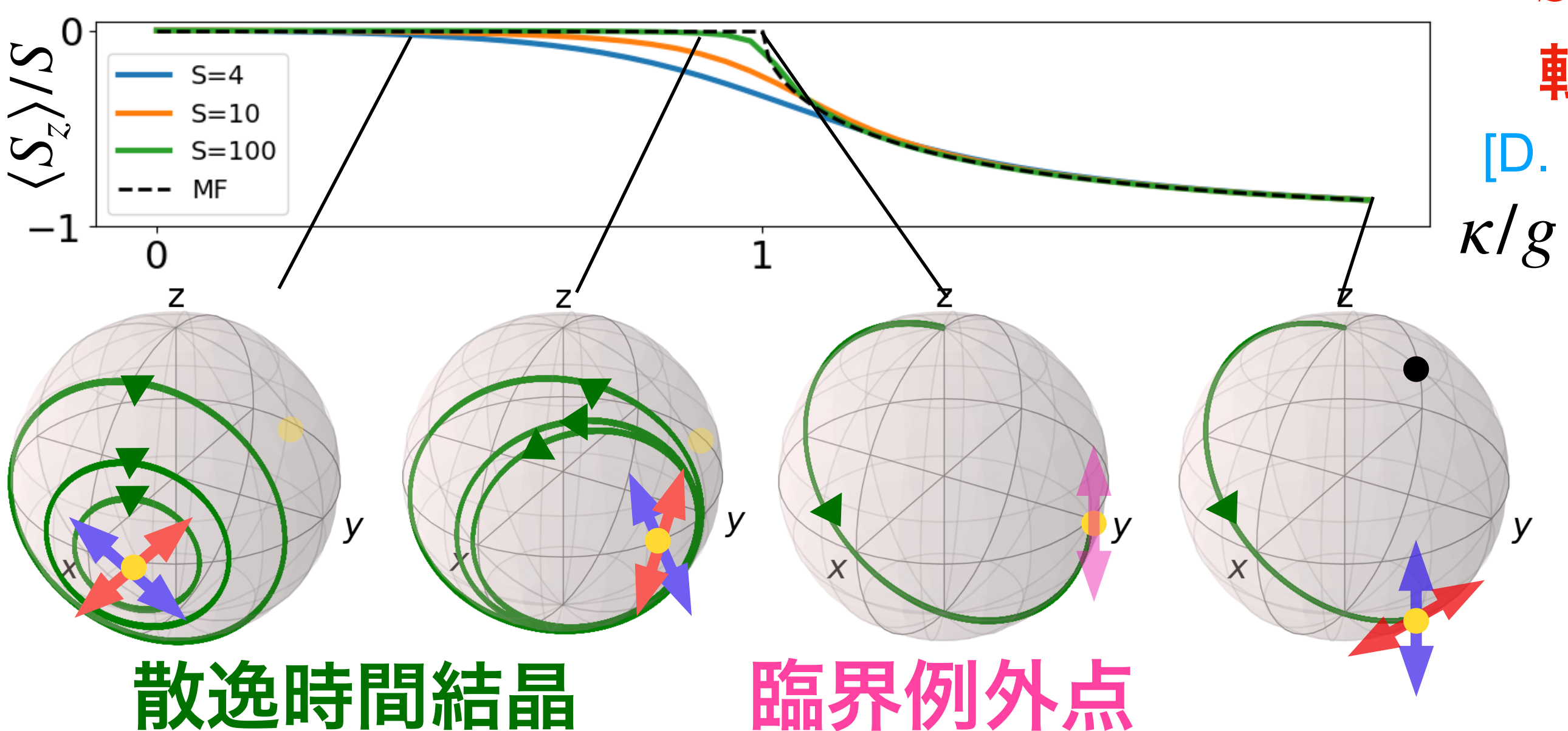
$$\delta q_{\pm} = (\pm \sqrt{\alpha}, \sqrt{\beta})^{T}$$

$$\alpha = -2(g^{2} - \kappa^{2})/g, \beta = 2g$$

#### PT対称な相

#### PT対称性が破れた相

 $S_{\alpha} = \sum_{\alpha} \sigma_{\alpha}^{i}$ 



#### $S \rightarrow \infty$ で2次相

#### 転移が生じる!

[D. F. Walls, et al., 1978]

#### 安定固定点

● 不安定固定点

PT対称性由来!

## まとめと展望

- 1. Lindbladian PT対称性を満たす、粒子数保存のあるボソンモデルの平均場方程 式は、非線形PT対称性を満たす
- 2. 2分割系であるとき、PT対称な相では周期振動が生じ、転移点は臨界例外点と なる
- 3. 重要な例として集団スピン系があり、PT対称性由来の散逸時間結晶が存在する

### 将来の展望:平均場を超えた解析

- A. 空間勾配、ノイズを考慮した臨界現象の解析
- B. 臨界例外点周りでの量子現象:エンタングルメントとの関係
- C. スペクトル理論の構築